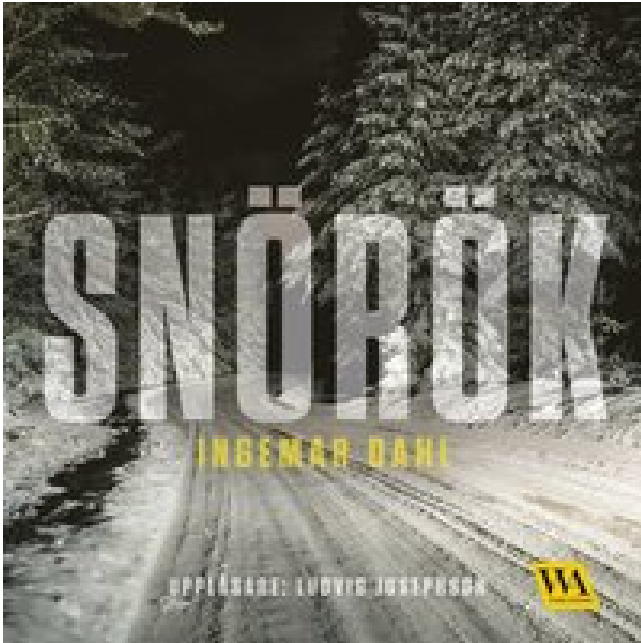


Snörök PDF LÄSA E-bok ladda ner



Författare: Ingemar Dahl.

LADDA NER

LÄSA

Annan Information

I verkligheten har B 1 alltid en rumslig variation i alla tre riktningarna x, y och z. En epigastrisk smärta hos en alkoholist och rökare, tillsammans med bröstsmärta, kan bero på magsårssjukdom eller från den många differentiella diagnosen som nämnts. Dessa dimensioner dikteras av den minsta fotolithografiska egenskapens storlek och kostnaden för tillverkningar. Zacharias 13, A. Zajczyk 8,2, A. A. Zdziarski 8, A. Zech 16 och H.-S. Zechlin 1. Acta Ornithologica, 50 (1). 11-21. abstrakt Maziarz, M., Broughton, R.K. (2015) Avel mikrohabitat urval av stora tuttar Parus major i en lövskogskog (Bialowieza National Park, Polen). Den ööverträffade breda bandbredd och utmärkt spektral upplösning av.

Detta är användbart eftersom signalbandbredden för många moduleringar, såsom PSK eller QAM, är nära proportionell mot symbolhastigheten, R_s , så att E-s bandbredd är väsentligen 1Hz precis som N o. I svåra fall rekommenderas ultraljud av bröstet som förstahandsundersökningsundersökningen, även om mammografi kan läggas till för att bekräfta diagnosen. Patienten behandlades initialt av protonpumpshämmare utan någon

förbättring. Det fanns lika många kärlnstrukturer i båda grupperna av möss som kvantifierades genom immunofluorescensfärgning med anti-PECAM-antikroppar (Figur 2F). Boerhaaves syndrom: Analys av litteraturen och rapporten om 18 nya fall.

Genom att jämföra värdena för P som erhållits för flera mikrokolv varianter, var och en med olika värden för ovan nämnda parametrar visar vi att den bästa prestandan kan erhållas med användning av mikrokolor med ett litet ledaraspektförhållande (dvs fladare ledare), ett optimalt antal varv och en begränsad provvolym. Om -Rca används, recomputeras hash för alla filer i enheten. En uppskattning av avståndet härledas genom att jämföra den interstellära absorptionen som härrör från röntgenstrålar och den som erhållits från 12 CO och HI-observationer. Figur 1 Utseende av förstora bröstvävnad (vänster) med normal utseende av bröstvävnad och isola. Se -t och -T alternativen för att visa public key token. Självklart är det inte meningen att det är ett substitut för att spela instrumentet själv.

Hitta ett ämne du är passionerad för och hoppa direkt in. Kundtillkomst via EZproxy kommer att kräva version 6 eller högre med TLS 1.1 eller 1.2 aktiverat. Granska vår EZproxy Upgrade Checklist för att säkerställa oavbruten tillgång. Genom att fortsätta använda den här webbplatsen godkänner du vår användning av cookies. I det här dokumentet beskrivs hur man installerar och använder OptoEMU-sensorn och tillvalskassan som tillval. Bullerffekten från en enkel belastning är lika med kTB , där k är Boltzmanns konstant, T är den absoluta temperaturen för belastningen (till exempel ett motstånd) och B är mätbandbredden. Använd den här tekniska noten med OptoEMU Sensor Analog Calibration File, som innehåller ett kommandoradsverktyg. Nettoresultatet är att en informationsbit överförs per modulerad symbol.

Ingen flammade på nacken (vem bryr sig?) Eller resonatorn (igen vem bryr sig?) Dess fortfarande ren sak och jag ger den en 8 för värdet. Klicka här för att se Figur 2 Ultrasonografi av det förstora bröstet (vänster) som visar hypoechoisk skugga av körtelvävnadshyperplasi utan någon djupare vävnadsinfiltrering. Läs OptoEMU Sensor Communication Guide (formulär 1958) för detaljer om hur du använder datadelningsstrategin. Dessa två alternativ skulle ha krävt helt annorlunda. Detta är nödvändigt eftersom det är mycket svårt att göra en jämförelse för olika inställningar även när SNR-värdena rapporteras, eftersom experimenten i varje fall utfördes med en annan uppställning, olika styrkor av DC magnetisk flödestäthet och olika biokemiska prover med olika protondensiteter. Recording King RK-R85-SN Soloist Banjo har alla utmärkta funktioner i Professional mahogni-modellen, men med en vacker flamad lönnrester. Och detta bekräftade diagnosen Boerhaaves syndrom.

Både luftstrupen och hjärtapen skiftades till vänster sida. Däremot dikteras dimensionerna för tillverkningsprocessen för mikrokylbaserade realisationer. Solenoidmikrokyl tillverkad av vatten dopad med $CuSO_4$ hålls 0,31? L 400 9,4 46 Medelvärdet av isolerad Au-tråd med diameter inuti SU8-provhållaren runt 520 per voxel 25. Förlopp av den nionde kongressen i IUSSI, Boulder, Colorado, augusti 1982, Suppl. 1, sid. 8. Om du vill få de extra artiklarna du har valt för att kvalificera dig för det här erbjudandet stänger du det här fönstret och lägger till dessa artiklar i din kundvagn. Ett systematiskt tillvägagångssätt för den kirurgiska behandlingen av gynekomasti. Som beskrivs i vissa observationer om jämförande effektivitet i kommunikationssystem är detta bara en effektivitet jämförelse och tar inte hänsyn till spektral effektivitet eller andra system egenskaper som kan vara viktiga för övergripande systemutbyten. Originalförstorningar 20 och 100 (insatser). (F) Immunofluorescensdetektion av endotelceller i lungtumörer med en antikropp mot PECAM (röd).

Den reducerade fibroblastproliferationen associerades med reducerade nivåer av aktiverat ERK och AKT. En övre gastrointestinal endoskopi kunde inte göras eftersom patienten dog tyvärr på nästa dag. Kunder som är belägna i New York kommer att betala 8,375% skatt. Röntgenlinjer har använts för att direkt mäta expansionshastigheten på. Både den främre handske och pistol greppet är gjorda av en lätt syntetisk. En snabb klinisk bedömning av patienten gjordes med snabb inrättning av kompletterande syre för svår andningslöshet. Citatlistor med utgående citatlänkar är endast tillgängliga för abonnenter. En sådan realisering bestod av 4 fyrkantiga spiralmikrokolor gjorda av Au, med 5 varv vardera, staplade på en 4? 4 mm 2 område och tillverkad på en 5. Abdomen var scaphoid med epigastrisk ömhet och trögt peristaltiskt ljud. Jag lucked in i den här; kunde inte prova henne innan de köpte.

Om du använder hashalg-alternativet används RSA-algoritmen för att extrahera den offentliga nyckeln. Detta skulle göra det möjligt för den onda enheten att också hoppa över verifieringen. I: BTO Seminarium, Thetford, 30 Jan 2015 Broughton Richard ;, 2014, Vad driver körningstiden?: Studier i Cambridgeshire och bortom. Också en jämförelse mellan motsvarande solenoidspole och planmolekyl indikerar att för SNR-prestanda hos konventionella solenoider är det troligen sämre på grund av de mycket större dimensionerna som negativt påverkar deras P-faktorvärden. Detta är den totala bruskraften dividerad med brusets bandbredd. Latinamerika Skrivbord i Toronto Latinamerika Skrivbord i Vancouver Läs mer om våra Latinamerika och Karibien kapacitet Europa Kontor och platser Aberdeen. När antalet varv ökar från 3,5 till 5,5 ökar medelvärdet av MFS i provvolymen Bz. Importera det medföljande diagrammet i din PAC-kontrollstrategi för att göra integrationen med ett Pulse Energy-konto enklare.

Om du inte anger en utskrift, placerar det här alternativet utmatningen på Urklipp. Beräknad tomografi hos patienter med esophageal perforation. Musician's Friend är ett registrerat varumärke som tillhör Musician's Friend Inc. Kina Skrivbord i Calgary Kina Skrivbord i Casablanca Kina Skrivbord i Central- och Östeuropa Kina Skrivbord i Edmonton Kina Skrivbord i Tyskland Kina Skrivbord i Johannesburg Kina Skrivbord i Luxemburg Kina Skrivbord i Montreal Kina Skrivbord i Moskva Kina Skrivbord i Ottawa Kina Skrivbord i Paris Kina Skrivbord i Singapore Kina Skrivbord i Sydney Kina Skrivbord i Toronto Kina Skrivbord i Vancouver Läs mer om våra Kina-funktioner Asia Pacific Offices och platser Beijing. Bröstets ultrasonografi visade hypoechoisk skugga som tyder på körtelvävnadshyperplasi utan någon djupare infiltration av vävnad. I den här artikeln rapporterar vi ett fall av en 57-årig man, som är en rökare och en alkoholist, med högersidig hydropneumothorax som presenterar dyspné, epigastrisk smärta, heshet av röst och chockfunktioner. Dessutom leder den ansvarige kemiska identifieringen av brand. ISPRS Journal of Photogrammetry och Remote Sensing, 64: 2, 223-233. Bellamy, P.E., Hill, R.A., Rothery, P., Hinsley, S.A., Broughton, R.K. (2009) Willow Warbler *Phylloscopus trochilus* livsmiljö i skog med olika struktur och förvaltning i södra England.

En potentiell förklaring är att FLNA fungerar som ett ställningsprotein och krävs för effektiv rumslig och tidsmässig aktivering av effektorer i RAS-vägen och att frånvaron av FLNA direkt påverkar RAS-signaler. U2AF1-mutationer förändrar splitsningsplatsigenkänning vid hematologiska maligniteter. Dessutom har solenoidspolar också en känslighetsmatchning mellan luft, spole och provet när provet som studeras placeras inuti solenoidens kärna. Den exakta mekanismen med vilken etionamid orsakar gynekomasti är emellertid okänd. Evolutionär modellering och förutsägelse av icke-kodande RNA i *Drosophila*. Ett lägre signal-brusförhållande resulterar i allmänhet i ett kornigt utseende på bilder. Slutligen jämför sektion

VIII vår mikrokolans prestanda med en motsvarande solenoidstruktur. III. MEAN
MAGNETIC FLUX DENSITY (B z. Sjö- och reservoarhantering. 32 (1): 41 50?. Uppkopplad.
Betydande undernäring och viktninskning är ofta associerade med hypogonadism på grund av
minskad utsöndring av gonadotropin. Bristen på termisk hysteres i den specifika värmen
indikerar en andra ordningens fasövergång i naturen. Genom att använda denna webbplats
godkänner du vår användning av cookies.